

① Introduction T-189 - T-192

- But de ce cours
- Lien entre la longueur de cohérence et la distribution d'impulsion

② Méthodes optiques de mesure de la distribution de vitesse

T.193 - T.199

- Transitions à 1 photon
- Transitions à 2 photons
 - entre 1 état fondamental et 1 état métastable
 - entre 2 états fondamentaux de nombres quantiques internes différents
 - entre 2 états fondamentaux de même nombre quantique interne
- Premières expériences utilisant les résonances induites par le recul

③ Application à un condensat de Bose-Einstein T.200 - T.214

- Principe de l'expérience - Conditions de résonance
- Effet des interactions - Condensat homogène
- Effet des interactions - Condensat inhomogène - Approximations
- Distribution des vitesses des atomes d'un condensat à la limite de Thomas-Fermi
- Distribution des valeurs de la densité d'atomes
- Déplacement et élargissement du spectre Doppler dû aux interactions

④ Expérience de M.I.T. T.215 - T.219

- Exemple de spectre obtenu sur les atomes du condensat
- Etude par vélocimétrie Doppler de l'expansion balistique
- Etude de l'effet des interactions
- Etude de la largeur de la distribution d'impulsion en fonction de l'extension spatiale du condensat

⑤ Conclusion T-220

But de ce cours

T-189

- Décrire des expériences montrant que la longueur de cohérence d'un condensat est de l'ordre de l'extension spatiale de ce condensat - Voir Ref. 1
- Les théories de champ moyen prédisent que, pour $T \ll T_c$, tous les atomes sont condensés dans le même état quantique décrit par une fonction d'onde réelle $\psi(\vec{r})$, solution de l'équation de Gross-Pitaevskii. On a alors (voir T-37):

$$G^{(1)}(\vec{r}, \vec{r}') = N \psi(\vec{r}) \psi(\vec{r}')$$

$G^{(1)}(\vec{r}, \vec{r}')$ reste non nul pour \vec{r} et \vec{r}' séparés par une distance de l'ordre de la dimension du condensat.

- Peut-on vérifier expérimentalement une telle prédiction ?

Définition plus précise de la longueur de cohérence λ_c

T-190

- Dans un condensat inhomogène (atomes dans un piège), $G^{(1)}(\vec{r}, \vec{r}')$ dépend à la fois de \vec{r} et \vec{r}' , et non plus seulement de $\vec{r} - \vec{r}'$, comme c'est le cas pour un système homogène

Cohérence spatiale globale $G(\vec{a})$

$$G(\vec{a}) = \int d^3r G^{(1)}(\vec{r}, \vec{r} + \vec{a})$$

Somme de toutes les cohérences spatiales entre couples de points \vec{r} et $\vec{r} + \vec{a}$ séparés de \vec{a}

La longueur de cohérence λ_c peut être définie comme la longueur caractéristique de la décroissance de $G(\vec{a})$ quand $|\vec{a}|$ croît de 0 à $+\infty$

Lien entre $G(\vec{a})$ et la distribution d'impulsion $\mathcal{P}(\vec{p})$

T-191

- D'après (T-35)

$$G^{(1)}(\vec{r}, \vec{r} + \vec{a}) = N \langle \vec{r} + \vec{a} | \hat{\rho}^{(1)} | \vec{r} \rangle$$

$\hat{\rho}^{(1)}$: Opérateur densité à 1 particule

- Passons de la représentation $\{|\vec{r}\rangle\}$ à la représentation $\{|\vec{p}\rangle\}$

$$\langle \vec{r} | \vec{p} \rangle = \left(\frac{1}{2\pi\hbar}\right)^{3/2} e^{i\vec{p}\cdot\vec{r}/\hbar}$$

$$\langle \vec{r} + \vec{a} | \hat{\rho}^{(1)} | \vec{r} \rangle = \int d^3p \int d^3p'$$

$$\langle \vec{r} + \vec{a} | \vec{p} \rangle \langle \vec{p} | \hat{\rho}^{(1)} | \vec{p}' \rangle \langle \vec{p}' | \vec{r} \rangle = \left(\frac{1}{2\pi\hbar}\right)^3 \int d^3p \int d^3p' e^{i\vec{p}\cdot\vec{a}/\hbar} e^{i(\vec{p}-\vec{p}')\cdot\vec{r}/\hbar} \langle \vec{p} | \hat{\rho}^{(1)} | \vec{p}' \rangle$$

$$G(\vec{a}) = \int d^3r G^{(1)}(\vec{r}, \vec{r} + \vec{a}) = \frac{N}{(2\pi\hbar)^3} \int d^3p \int d^3p' e^{i\vec{p}\cdot\vec{a}/\hbar} \langle \vec{p} | \hat{\rho}^{(1)} | \vec{p}' \rangle \int d^3r e^{i(\vec{p}-\vec{p}')\cdot\vec{r}/\hbar}$$

$$G(\vec{a}) = \int d^3p e^{i\vec{p}\cdot\vec{a}/\hbar} \underbrace{N \langle \vec{p} | \hat{\rho}^{(1)} | \vec{p} \rangle}_{\mathcal{P}(\vec{p})}$$

$G(\vec{a})$ est donc la transformée de Fourier de $\mathcal{P}(\vec{p})$

Principe de l'expérience

T-192

- Mesurer la distribution d'impulsion $\mathcal{P}(p)$ (ou la distribution de vitesse) et en particulier la largeur Δp de $\mathcal{P}(p)$
- Comme $G(a)$ est la T.F. de $\mathcal{P}(p)$, la largeur de $G(a)$, c-à-d la longueur de cohérence λ_c , est de l'ordre de $\hbar/\Delta p$
- On compare alors $\hbar/\Delta p$ à l'extension spatiale du condensat

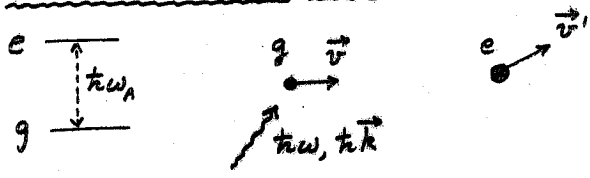
Peut-on mesurer $\mathcal{P}(p)$ par des méthodes de temps de vol ?

A cause des interactions répulsives, les atomes sont accélérés au cours de la phase d'expansion balistique et leurs vitesses changent.

Les méthodes de temps de vol ne donnent donc pas accès à la distribution des vitesses dans le condensat

Méthodes optiques de mesure de $P(\vec{P})$ basées sur l'effet Doppler T-193

Transitions à un photon



$$\begin{cases} M\vec{v} + \hbar\vec{k} = M\vec{v}' \\ E_g + \frac{1}{2}Mv^2 + \hbar\omega = E_e + \frac{1}{2}Mv'^2 \end{cases}$$

$$\begin{cases} v^2 + \frac{\hbar^2 k^2}{M^2} + 2\frac{\hbar\vec{k} \cdot \vec{v}}{M} = v'^2 \\ \hbar\omega = \hbar\omega_A + \frac{1}{2}M(v'^2 - v^2) \end{cases}$$

$$\omega = \omega_A + \underbrace{\frac{\hbar k^2}{2M}}_{\text{Recul}} + \underbrace{\frac{\hbar \cdot \vec{v}}{M}}_{\text{Effet Doppler}}$$

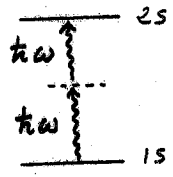
$$\Delta v \approx 1 \text{ mm/s} \rightarrow \frac{\Delta\omega}{2\pi} \approx 3 \text{ KHz}$$

La largeur naturelle de l'état excité est en général très supérieure à cette valeur et l'effet Doppler est trop petit pour être détecté

Transitions à 2 photons entre 2 états de très longue durée de vie T-194

① Absorption de 2 photons entre 1 état fondamental et 1 état métastable

Transition 1s ↔ 2s de l'atome d'Hydrogène

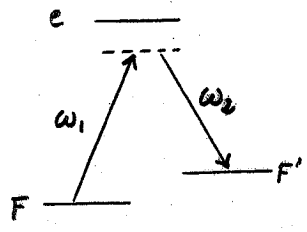


L'état 2s a une très longue durée de vie et donc une très faible largeur naturelle.

Les 2 photons $\hbar\omega = (E_{2s} - E_{1s})/2$ se propagent dans le même sens. La condition de résonance est alors sensible à l'effet Doppler

Méthode utilisée pour étudier la distribution des vitesses d'un condensat d'atomes d'Hydrogène (Réf. 2)

② Effet Raman stimulé entre 2 états fondamentaux de nombres quantiques internes différents T-195

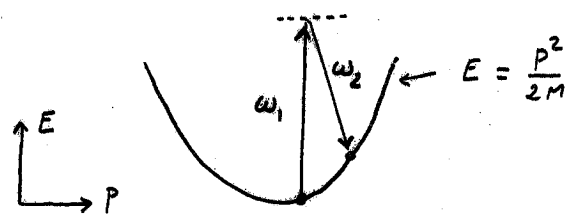


F et F' sont des états fondamentaux de très longue durée de vie

Transitions par effet Raman stimulé entre 2 niveaux hyperfins différents d'un atome alcalin avec des photons se propageant dans des sens opposés (pour avoir une condition de résonance sensible à l'effet Doppler)

- Méthode utilisée pour
- mesurer des vitesses
 - exciter dans F' un groupe d'atomes de vitesses bien définies (Voir Réf. 3)

③ Effet Raman stimulé entre 2 états fondamentaux de mêmes nombres quantiques internes (Refs 4 à 7) T-196



L'absorption d'un photon ω_1 suivie de l'émission stimulée d'un photon ω_2 relie 2 états fondamentaux ayant le même nombre quantique interne mais des nombres quantiques externes (impulsion) différents

- Autres dénominations pour un tel effet
 - Effet Compton stimulé
 - Résonance induite par le recul
 - Effet Rayleigh stimulé
 - Effet Bragg

VII-4

Condition de résonance pour les résonances induites par le recul

T-197

$$\begin{cases} M\vec{v} + \hbar\vec{k}_1 - \hbar\vec{k}_2 = M\vec{v}' \\ \frac{1}{2}Mv^2 + \hbar\omega_1 - \hbar\omega_2 = \frac{1}{2}Mv'^2 \end{cases}$$

$$\omega_1 - \omega_2 = \delta\omega \quad \vec{k}_1 - \vec{k}_2 = \vec{K}$$

$$\delta\omega = \frac{\hbar K^2}{2M} + \vec{K} \cdot \vec{v}$$

- Pour avoir la plus grande sensibilité à l'effet Doppler, on a intérêt à prendre \vec{k}_1 et \vec{k}_2 de sens opposés.

On a alors $\vec{K} \approx 2\vec{k}_1 = 2\vec{k}_2$

$$\delta\omega = 4 \frac{\hbar k^2}{2M} + 2\vec{k} \cdot \vec{v}$$

On mesure la vitesse parallèle à \vec{k}

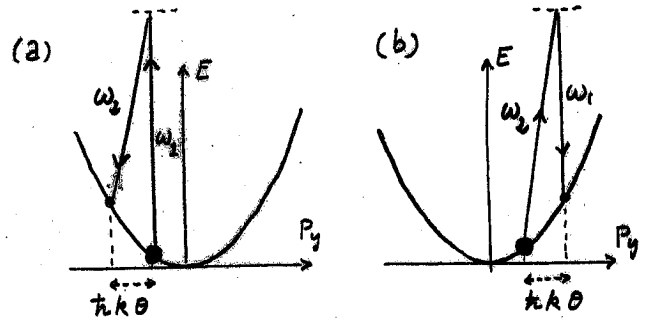
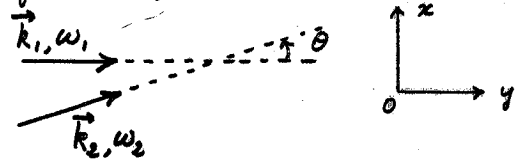
- Si \vec{k}_1 et \vec{k}_2 font un petit angle θ , $|\vec{K}| \approx 2k \sin \frac{\theta}{2} \approx k\theta$ et \vec{K} est à peu près perpendiculaire à \vec{k}

On mesure la vitesse perpendiculaire à \vec{k}

Mesure de la distribution des vitesses des atomes d'une mélasse optique

T-198

(Refs. 5 à 7)



Plus $|p_y|$ est petit, plus l'état est peuplé
Le faisceau ω_2 est amplifié si $\omega_2 < \omega_1$ (Fig. a), absorbé si $\omega_2 > \omega_1$ (Fig. b)

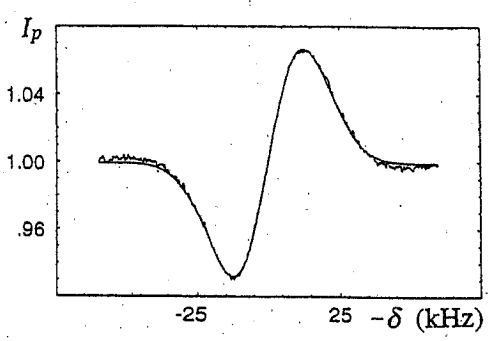
Le signal est proportionnel à $P(v) - P(v - \delta v)$
ou $\delta v = \frac{\delta p_y}{M} \approx \frac{\hbar k \theta}{M}$

Exemple de signal observé sur la transmission du faisceau ω_2

T-199

Si la largeur Doppler de la mélasse optique est grande devant $\hbar k \theta / M$ (θ assez petit), le signal, proportionnel à $P(v) - P(v - \delta v)$ est proportionnel à la dérivée d'une Gaussienne

Figure extraite de la Ref. 7



Première mesure de velocimétrie d'une mélasse par résonances induites par le recul

Mesure optique de $P(p)$ pour un condensat

T-200

- Principe (voir Ref. 1)
- Excitation par 2 faisceaux laser \vec{k}_1, ω_1 et \vec{k}_2, ω_2 avec \vec{k}_1 et \vec{k}_2 de sens opposés
 ω_1 et ω_2 sont loins de toute résonance optique - Emission spontanée négligeable
 - On balaye $\delta\omega = \omega_1 - \omega_2$
 - Pour chaque valeur de $\delta\omega$, les atomes de vitesse \vec{v} telle que
$$\delta\omega = \frac{\hbar K^2}{2M} + \vec{K} \cdot \vec{v}$$
 où $\vec{K} = \vec{k}_1 - \vec{k}_2$, subissent une transition par effet Raman stimulé qui ne change pas leur état interne mais leur transfère une impulsion $\hbar\vec{K}$ qui leur permet de s'échapper du condensat
 - L'étude de la variation avec $\delta\omega$ du nombre d'atomes qui s'échappent du condensat permet de déterminer la distribution des vitesses des atomes condensés (dans la direction de \vec{K})

Effet des interactions

T-201

- La condition de résonance $\delta\omega = \frac{\hbar k^2}{2M} + \vec{k} \cdot \vec{v}$ a été établie pour des atomes libres
- Il faudrait en toute rigueur étudier le spectre des excitations élémentaires du condensat et calculer la différence d'énergie des couples d'états reliés par la transition d'effet Raman stimulé

Un cas simple : Système homogène

- Pour un système homogène, la théorie de Bogolubov donne la relation de dispersion des excitations élémentaires (voir T-16)

$$\hbar\omega(k) = \sqrt{\frac{\hbar^2 k^2}{2M} \left(\frac{\hbar^2 k^2}{2M} + 2n_0 g \right)}$$

où n_0 est la densité d'atomes, $g = \frac{4\pi\hbar^2 a}{M}$ a étant la longueur de diffusion

- Le condensat correspond à $k=0$
- Après le transfert d'impulsion $\hbar\vec{k}$ par effet Raman stimulé, l'état atteint a une énergie $\hbar\omega(\vec{k})$

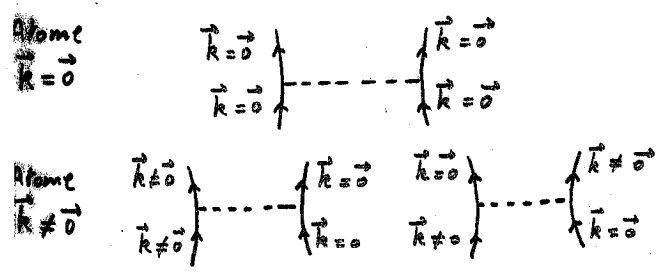
La condition $\frac{\hbar^2 k^2}{2M} \gg n_0 g$ est en général largement réalisée quand \vec{k} est un vecteur d'onde dans le domaine optique. On a alors

$$\hbar\omega(k) \approx \frac{\hbar^2 k^2}{2M} + n_0 g$$

La variation d'énergie d'un atome initialement immobile et gagnant une impulsion $\hbar\vec{k}$ n'est pas simplement l'énergie cinétique correspondante $\frac{\hbar^2 k^2}{2M}$

Son énergie d'interaction avec les autres atomes n'est pas la même suivant qu'il est condensé ($\vec{k}=\vec{0}$) ou qu'il a une impulsion $\vec{k} \neq \vec{0}$. Cette différence d'énergie d'interaction est égale à $n_0 g$ (si \vec{k} est suffisamment grand)

Origine de cette différence : Terme d'échange dans l'interaction



Cas d'un condensat inhomogène

T-203

- 2 modifications importantes par rapport au cas homogène
- ① L'impulsion des atomes condensés n'est plus nulle. L'extension spatiale finie du condensat entraîne une dispersion d'impulsion qui est précisément la quantité que l'on veut mesurer
- ② La densité d'atomes n'est plus constante. Elle varie avec \vec{r} : $n(\vec{r})$

Traitement approché

Chaque élément de volume d^3r du condensat contient $n(\vec{r})d^3r$ atomes. On considère le condensat comme homogène au voisinage de \vec{r} et on introduit une condition de résonance locale au point \vec{r} par l'équation

$$\delta\omega = \frac{\hbar k^2}{2M} + \frac{g n(\vec{r})}{\hbar} + \vec{k} \cdot \vec{v}$$

Prédictions du traitement approché

T-204

- Chaque élément d^3r donne un spectre Doppler correspondant à la distribution des valeurs de $\vec{k} \cdot \vec{v}$, décalé de $\frac{\hbar k^2}{2M} + \frac{g n(\vec{r})}{\hbar}$
- Par rapport à la fréquence $\hbar k^2/2M$, le spectre attendu $I(\delta\omega)$ (nombre d'atomes quittant le condensat en fonction de $\delta\omega$) est la convolution du spectre Doppler correspondant à la distribution de $\vec{k} \cdot \vec{v}$ par la courbe donnant la répartition des valeurs possibles du déplacement $g n/\hbar$

2 Problèmes à résoudre

- Distribution des valeurs de $\vec{k} \cdot \vec{v}$
- Distribution des valeurs de n

Pour un calcul plus rigoureux du signal

Voir les calculs en cours du "facteur de structure dynamique" dans l'équipe de Trento (S. Stringari, L. Pitaevskii)

VII-6

Distribution d'impulsion d'un condensat à la limite de Thomas-Fermi T-205

Fonction d'onde du condensat

- Normalisation choisie $\int |\psi(\vec{r})|^2 d^3r = N$
- Expression de $|\psi(\vec{r})|^2$ (voir T-12)
 $|\psi(\vec{r})|^2 = \frac{1}{g} [\mu - \frac{1}{2} m (\omega_x^2 x^2 + \omega_y^2 y^2 + \omega_z^2 z^2)]$
- $|\psi(\vec{r})|^2$ s'annule en $x = \pm x_0, y = \pm y_0, z = \pm z_0$
 $\frac{1}{2} m \omega_x^2 x_0^2 = \mu = \frac{1}{2} m \omega_y^2 y_0^2 = \frac{1}{2} m \omega_z^2 z_0^2$

- Densité au centre

$$|\psi(\vec{0})|^2 = n_0 = \frac{\mu}{g} \rightarrow \mu = g n_0$$

- On peut donc écrire $|\psi(\vec{r})|^2$ sous la forme

$$|\psi(\vec{r})|^2 = n_0 \left[1 - \left(\frac{x}{x_0}\right)^2 - \left(\frac{y}{y_0}\right)^2 - \left(\frac{z}{z_0}\right)^2 \right]$$

Paraboles inversées suivant Ox, Oy, Oz

- Fonction d'onde $\psi(\vec{r})$.

Comme $\psi(\vec{r})$ est réelle

$$\psi(x, y, z) = \sqrt{n_0} \sqrt{1 - \left(\frac{x}{x_0}\right)^2 - \left(\frac{y}{y_0}\right)^2 - \left(\frac{z}{z_0}\right)^2}$$

Calcul de I

T-207

$$\int_0^\pi d\theta \sin \theta e^{-i k p \cos \theta} = \frac{e^{i k p} - e^{-i k p}}{i k p}$$

$$I = \frac{2\pi}{i k} \int_{-1}^{+1} dp \rho \sqrt{1-\rho^2} e^{i k p}$$

Changement de variables $\rho = \cos \alpha$
 + Intégration par parties

$$I = \frac{2\pi}{i k} \int_0^\pi d\alpha \sin^2 \alpha \cos \alpha e^{i k \cos \alpha}$$

$$= -\frac{\pi}{k^2} \int_{-\pi}^{+\pi} d\alpha \cos^2 \alpha e^{i k \cos \alpha}$$

Pour des raisons de parité, seule la partie paire en α de $e^{i k \cos \alpha}$ intervient

$$\cos(k \cos \alpha) = J_0(k) + 2 \sum_{n=1}^{\infty} (-1)^n J_{2n}(k) \cos 2n\alpha$$

J_n : Fonction de Bessel d'ordre n

Seul, le terme $n=1$ contribue à I

$$I = \frac{2\pi}{k^2} J_2(k) \int_{-\pi}^{+\pi} d\alpha \cos^2 \alpha = \frac{\pi}{k^2} J_2(k)$$

Distribution $\mathcal{P}(P_x)$ d'impulsion suivant Ox (on suppose $\vec{k} \parallel Ox$) T-206

$$\mathcal{P}(P_x) = \iint dp_y dp_z \mathcal{P}(P_x, P_y, P_z)$$

$$\mathcal{P}(P_x, P_y, P_z) = |\tilde{\Psi}(P_x, P_y, P_z)|^2$$

$$\tilde{\Psi}(P_x, P_y, P_z) = \left(\frac{1}{2\pi\hbar}\right)^{3/2} \iiint dx dy dz n_0 e^{-i(P_x x + P_y y + P_z z)/\hbar} \sqrt{1 - \left(\frac{x}{x_0}\right)^2 - \left(\frac{y}{y_0}\right)^2 - \left(\frac{z}{z_0}\right)^2}$$

- Changement de variables

$$\frac{x}{x_0} = \xi \quad \frac{y}{y_0} = \eta \quad \frac{z}{z_0} = \zeta \quad \vec{\rho} = \{\xi, \eta, \zeta\}$$

$$\frac{P_x}{\hbar/x_0} = k_x \quad \frac{P_y}{\hbar/y_0} = k_y \quad \frac{P_z}{\hbar/z_0} = k_z \quad \vec{k} = \{k_x, k_y, k_z\}$$

- Expression de $\tilde{\Psi}$

$$\tilde{\Psi}(k_x, k_y, k_z) = \frac{\sqrt{n_0 x_0 y_0 z_0}}{(2\pi\hbar)^{3/2}} I$$

où I est donné par l'intégrale

$$I = \int_{\rho \leq 1} d^3\rho e^{-i\vec{k} \cdot \vec{\rho}} \sqrt{1-\rho^2}$$

$$= 2\pi \int_0^1 d\rho \rho^2 \sqrt{1-\rho^2} \int_0^\pi d\theta \sin \theta e^{-i k \rho \cos \theta}$$

Expression de $\mathcal{P}(P_x, P_y, P_z)$

T-208

$$\tilde{\Psi}(\vec{k}) \propto \frac{J_2(k)}{k^2}$$

$$|\tilde{\Psi}(\vec{k})|^2 \propto \left| \frac{J_2(k)}{k^2} \right|^2$$

$$k^2 = k_x^2 + k_y^2 + k_z^2 = \frac{1}{\hbar^2} [P_x^2 x_0^2 + P_y^2 y_0^2 + P_z^2 z_0^2]$$

$$\mathcal{P}(P_x, P_y, P_z) \propto \left[\frac{J_2\left(\sqrt{\frac{P_x^2 x_0^2 + P_y^2 y_0^2 + P_z^2 z_0^2}{\hbar^2}}\right)}{\frac{P_x^2 x_0^2 + P_y^2 y_0^2 + P_z^2 z_0^2}{\hbar^2}} \right]^2$$

L'intégrale sur P_y et P_z n'est pas aisée

Expression approchée de $J_2(k)/k^2$

$$J_2(k) = \left(\frac{k}{2}\right)^2 \sum_{r=0}^{\infty} \frac{(-1)^r}{r!(r+2)!} \left(\frac{k}{2}\right)^{2r}$$

$$= \left(\frac{k}{2}\right)^2 \left[\frac{1}{2} - \frac{1}{6} \frac{k^2}{4} + \dots \right]$$

$$= \frac{k^2}{8} \left[1 - \frac{k^2}{12} + \dots \right]$$

On peut donc écrire

$$\left[\frac{J_2(k)}{k^2} \right]^2 = \frac{1}{64} \left[1 - \frac{k^2}{12} + \dots \right]^2$$

$$\approx \frac{1}{64} \left[1 - \frac{k^2}{6} \right]$$

$$\approx \frac{1}{64} e^{-k^2/6}$$

Expression approchée de $\mathcal{P}(P_x, P_y, P_z)$ T-209

Pour des valeurs pas trop élevées de P_x, P_y, P_z , on peut donc écrire

$$\mathcal{P}(P_x, P_y, P_z) \propto e^{-k^2/6} = \exp\left\{-\frac{P_x^2}{6\hbar^2/x_0^2}\right\} \exp\left\{-\frac{P_y^2}{6\hbar^2/y_0^2}\right\} \exp\left\{-\frac{P_z^2}{6\hbar^2/z_0^2}\right\}$$

L'intégrale sur P_y et P_z est alors immédiate et on trouve

$$\mathcal{P}(P_x) \propto \exp\left\{-\frac{P_x^2}{6\hbar^2/x_0^2}\right\}$$

La valeur quadratique moyenne de P_x est égale, dans cette approximation, à

$$\Delta P_x = \sqrt{3} \frac{\hbar}{x_0} = 1.73 \frac{\hbar}{x_0}$$

Remarques

- ① Dans la référence 1, c'est $\mathcal{P}(P_x, P_y=0, P_z=0)$ qui est calculé au lieu de $\iint dP_y dP_z \mathcal{P}(P_x, P_y, P_z)$. On trouve alors

$$\mathcal{P}(P_x, P_y=0, P_z=0) \propto \left[\frac{J_2\left(\frac{P_x x_0}{\hbar}\right)}{\frac{P_x^2 x_0^2}{\hbar^2}} \right]^2$$

$$\Delta P_x = \sqrt{\frac{81}{8}} \frac{\hbar}{x_0} = 1.62 \frac{\hbar}{x_0}$$

Distribution $\mathcal{P}(n)$ des valeurs de n

$$n(\vec{r}) = n_0 \left[1 - \left(\frac{x}{x_0}\right)^2 - \left(\frac{y}{y_0}\right)^2 - \left(\frac{z}{z_0}\right)^2 \right] \quad \text{T-211}$$

Après le changement de variables $x, y, z \rightarrow \xi, \eta, \zeta$ $\vec{r} \rightarrow \vec{\rho}$

$$n(\vec{\rho}) = n_0 (1 - \rho^2)$$

Chaque valeur de ρ contribue au signal avec un poids proportionnel au nombre d'atomes situés à cette valeur de ρ

Distributions $P(\rho)$ des poids des diverses valeurs de ρ

$$P(\rho) d\rho = N 4\pi x_0 y_0 z_0 \rho^2 d\rho n(\rho) = 4\pi N n_0 x_0 y_0 z_0 \rho^2 \sqrt{1-\rho^2} d\rho$$

N : constante de normalisation déterminé par $\int_0^1 P(\rho) d\rho = 1$

$$N = \frac{15}{8\pi} \frac{1}{n_0 x_0 y_0 z_0}$$

On a donc

$$P(\rho) = \frac{15}{2} \rho^2 (1 - \rho^2)$$

Remarques (suite)

- ② Le traitement présenté ici s'intéresse à la partie centrale de $\mathcal{P}(P_x)$ qui a la forme d'une courbe en cloche se rapprochant d'une Gaussienne

L'ajustement des résultats expérimentaux étant fait avec une Gaussienne, une telle approche doit donner une valeur raisonnable de ΔP_x

- ③ La fonction d'onde à l'approximation de Thomas-Fermi a une pente verticale en $x=x_0$, ce qui conduit à une divergence de la variance ΔP_x^2 de P_x .

Même après un traitement plus précis de la zone $x \approx x_0$, on obtient des valeurs élevées de ΔP_x différentes de la $1/2$ largeur à $1/e$. L'approximation faite ici est donc plus proche de l'expérience

- ④ Le profil Doppler est proportionnel à $\iint dP_y dP_z \mathcal{P}(P_x, P_y, P_z)$ et non à $\mathcal{P}(P_x, P_y=0, P_z=0)$

Calcul de $\mathcal{P}(n)$

A chaque valeur de ρ est associée une valeur de n par

$$n = n_0 (1 - \rho^2)$$

$$\mathcal{P}(n) dn = P(\rho) d\rho$$

$$\mathcal{P}(n) = P(\rho) \left| \frac{d\rho}{dn} \right|$$

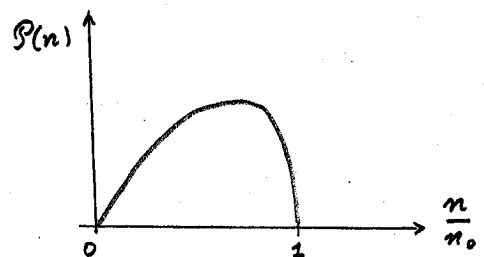
$$P(\rho) = \frac{15}{2} \rho^2 (1 - \rho^2) = \frac{15}{2} \left(1 - \frac{n}{n_0}\right) \frac{n}{n_0}$$

$$dn = -2n_0 \rho d\rho$$

$$\left| \frac{d\rho}{dn} \right| = \frac{1}{2n_0 \rho} = \frac{1}{2n_0} \sqrt{1 - \frac{n}{n_0}}$$

On en déduit

$$\mathcal{P}(n) = \frac{15}{4n_0^2} n \sqrt{1 - \frac{n}{n_0}}$$



VII-8

Valeur moyenne et écart quadratique moyen de n

T-213

$$\bar{n} = \int_0^{n_0} n P(n) dn$$

$$\overline{n^2} = \int_0^{n_0} n^2 P(n) dn$$

$$\Delta n = \sqrt{\overline{n^2} - \bar{n}^2}$$

Une série d'intégrations par parties donne

$$\int_0^1 u^2 \sqrt{1-u} du = \frac{16}{7 \times 15}$$

$$\int_0^1 u^3 \sqrt{1-u} du = \frac{4 \times 24}{15 \times 63}$$

On en déduit

$$\bar{n} = \frac{15}{4n_0^2} \int_0^{n_0} n^2 \sqrt{1-\frac{n}{n_0}} dn = \frac{4n_0}{7}$$

$$\overline{n^2} = \frac{15}{4n_0^2} \int_0^{n_0} n^3 \sqrt{1-\frac{n}{n_0}} dn = \frac{24}{63} n_0^2$$

$$\Delta n^2 = n_0^2 \frac{8}{147}$$

Déplacement du spectre dû aux interactions

$$(\Delta \omega)_{\text{inter.}} = \frac{g}{\hbar} \bar{n} = \frac{4}{7} \frac{g n_0}{\hbar}$$

Élargissement du spectre dû aux interactions

T-214

Si l'on approxime le profil de $P(n)$ par une Gaussienne, le spectre final, qui est le produit de convolution de 2 courbes approximées par des Gaussiennes, est aussi une Gaussienne.

Les variances s'ajoutent alors, et on obtient pour la variance $\Delta(\delta\omega)^2$ de $\delta\omega$

$$\begin{aligned} \Delta(\delta\omega)^2 &= [\Delta(\delta\omega)^2]_{\text{Doppler}} + [\Delta(\delta\omega)^2]_{\text{Inter}} \\ &= \alpha^2 \frac{\hbar^2}{2m^2} + \frac{8}{147} \frac{g^2 n_0^2}{\hbar^2} \end{aligned}$$

avec $\alpha^2 = 3$ ou $\frac{21}{8}$ suivant la théorie

Recapitulation

- L'effet des interactions est donc
- de déplacer le spectre Doppler
- d'élargir ce spectre

Le spectre Doppler ne dépend pas de n_0

L'effet des interactions ne dépend pas de α_0

Etude expérimentale (voir Ref. 1)

T-215

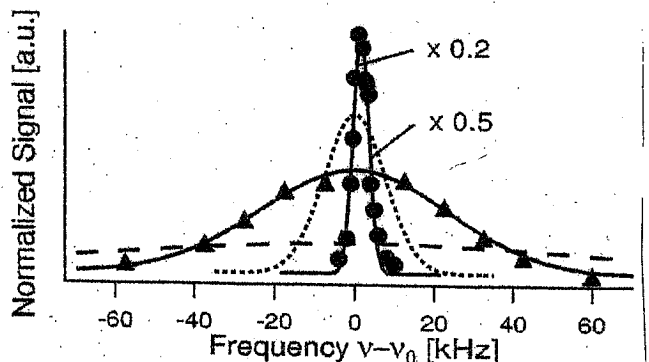
- Condensat en forme de cigare horizontal
- On fait varier n_0 et α_0 en changeant la raideur du piège et le nombre N d'atomes condensés
- On mesure n_0 par étude de l'expansion balistique, α_0 par mesure de N et des fréquences du piège
- Les faisceaux laser induisant la transition Raman sont appliqués un temps très court avant la coupure du piège. La durée de l'impulsion est suffisamment grande pour avoir une résolution $\lesssim 1$ KHz et suffisamment courte devant la période d'oscillation dans le piège
- Comme $g n_0 \ll \hbar^2 k^2 / 2m$, les atomes ayant subi la transition Raman (qui ont gagné une impulsion $2\hbar k$) se détachent nettement des autres, pendant l'expansion balistique

Exemple de spectre $I(\delta\omega/2\pi)$

T-216

Figure extraite de la Ref. 1

- Signal obtenu sur les atomes du condensat
- ▲ Signal obtenu après 3 ms d'expansion balistique (on mesure les vitesses acquises lors de cette expansion)
- ⋯ Signal calculé pour une distribution $P(v_x)$ correspondant à l'état fondamental du piège
- Signal du bruit thermique

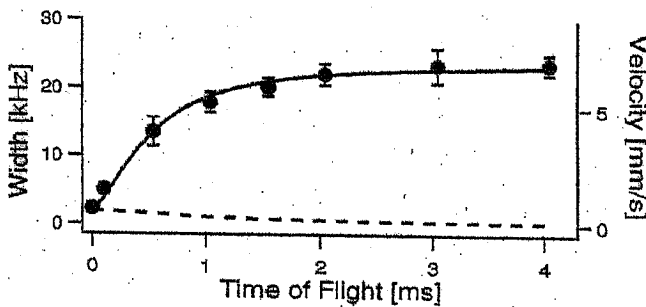


Etude par vélocimétrie Doppler de l'expansion balistique

T-217

Figure extraite de la ref 1

Les résonances induites par le recul permettent aussi d'étudier l'évolution temporelle de la distribution de vitesse des atomes au cours de l'expansion balistique



Courbe en trait plein : Prédiction théorique à partir des résultats de la Ref. 8

Courbe en trait tiré : Contribution de l'élargissement dû aux interactions et à la taille finie du nuage

Largeur du spectre en fonction de α_0

Figure extraite de la Ref 1

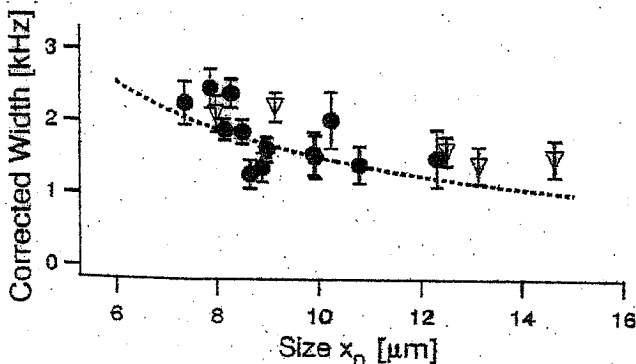
T-219

Résultats corrigés

- de la contribution des interactions
- de l'élargissement dû à la durée finie des impulsions laser

.... Courbe théorique calculée à

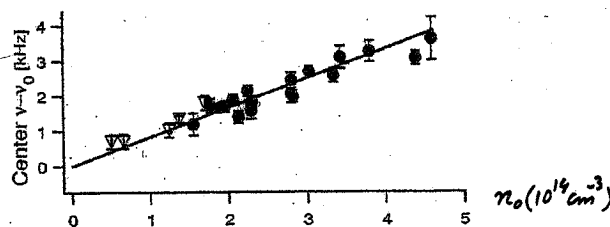
partir de $\Delta p_x = \sqrt{\frac{21}{8}} \frac{\hbar}{\alpha_0}$



Déplacement du spectre dû aux interactions

Figure extraite de la Ref. 1

T-218

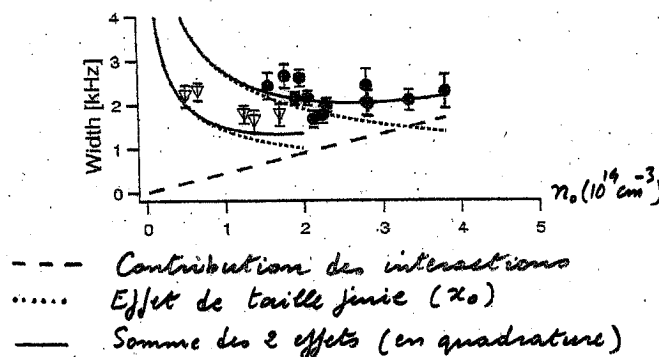


Les ronds et les triangles correspondent à 2 fréquences différentes du piège

Droite en trait plein : Théorie

Largeur du spectre en fonction de n_0

Figure extraite de la Ref. 1



- - - Contribution des interactions
- Effet de taille finie (α_0)
- Somme des 2 effets (en quadrature)

Conclusion

T-220

- ① Les résonances induites par le recul permettent d'étudier la distribution de vitesse des atomes condensés dans un piège
- ② La différence entre la dispersion des vitesses des atomes condensés et celle des atomes du nuage thermique est beaucoup plus importante que la différence de largeur des 2 pics obtenus après expansion balistique
- ③ Un traitement simplifié de l'effet des interactions permet de soustraire leur contribution et de montrer que Δp_x est en bon accord avec la largeur liée à l'extension spatiale finie α_0 du condensat
- ④ Une théorie plus quantitative du facteur de structure dynamique reste à faire

Références

- (1) - J. Stenger, S. Inouye, A. Chikkatur, D. Stampfer-Kurn, D. Pritchard, W. Ketterle, *Phys. Rev. Lett.* 82, 4569 (1999)
- (2) - D. Fried, T. Killian, L. Willmann, D. Landhuis, S. Moss, D. Kleppner, T. Graytak, *Phys. Rev. Lett.* 81, 3811 (1998)
- (3) - M. Kasevich, D. Weiss, E. Riis, K. Moler, S. Kasapi, S. Chu *Phys. Rev. Lett.* 66, 2297 (1991)
- (4) - J. Guo, P. Berman, B. Dubetsky, G. Grynberg, *Phys. Rev.* A46, 1426 (1992)
- (5) - J.-Y. Courtois, G. Grynberg, B. Lounis, P. Verkerk, *Phys. Rev. Lett.* 72, 3017 (1994)
- (6) - D. Meacher, D. Boiron, H. Metcalf, C. Salomon, G. Grynberg *Phys. Rev.* A50, R1992 (1994)
- (7) - J.-Y. Courtois, G. Grynberg, *Advances in Atomic, Molecular and Optical Physics*, Vol 36, p.87 (1996)
- (8) - Y. Castin, R. Dum, *Phys. Rev. Lett.* 77, 5315 (1996)